

ČESKÉ VYSOKÉ UČENÍ TECHNICKÉ V PRAZE
FAKULTA STAVEBNÍ - OBOR GEODÉZIE A KARTOGRAFIE
KATEDRA VYŠŠÍ GEODÉZIE

název předmětu

VYŠŠÍ GEODÉZIE 21

číslo úlohy 5	název úlohy <i>GPS - oskulační elementy dráhy družice</i>				
školní rok 2002/03	semestr 7	skupina 64	zpracoval Zdeněk Nejedlý	datum 15.12.2003	e-mail rsc@email.cz

Zadání: Na základě skutečných drah družic daných svými přesnými efemeridami v souborech formátu *SP3* sledujte časový průběh oskulačních elementů. Použijte k tomu data ze serveru služby *IGS* (<http://igscb.jpl.nasa.gov/>) a *IERS* (<http://maia.usno.navy.mil/>) pro den = den Vašeho narození + 20 let (resp. totožné datum, pouze rok se zvýší o 20, je-li tímto dnem neexistující 29.únor, použijte data z 1.dubna). Výpočty provádějte pro družici *PRN = 1*.

Stručný postup:

- Souřadnice dané družice převeďte ze systému *ITRF* do nebeského rámce *ICRF* pomocí programu *sp3crs.exe* (<ftp://leo.fsv.cvut.cz/VG/Utils/sp3crs.exe>). Vstupem kromě souboru ve formátu *SP3* jsou také souřadnice pólu a hodnoty *UT1 – UTC* a *GPS – UTC*.
- Postupně pro každé dvě následující polohy družice vypočtěte keplerovy parametry (oskulační) dráhy definované těmito dvěma body.
- Vypočtené časové řady parametrů vyneste vhodně do grafu, samostatně pro každý parametr.

Vstupní soubory:

<ftp://igscb.jpl.nasa.gov/igscb/product/1033/igs10335.sp3.Z>
<ftp://igscb.jpl.nasa.gov/igscb/product/1033/igs10337.erp.Z>

Vstupní hodnoty:

datum: 29.10.1999

MJD = 51480

GPS týden = 1033

GPS den = 5

souřadnice pólu: *xp* = 0.020490"
 yp = 0.383336"

UT1 – UTC = 0.4353535 s

GPS – UTC = 13 s

parametry pro spuštění programu sp3crs:

sp3crs -xp 20490 -yp 383336 -ut 4353535 -gp 13 1 IGS10335.SP3 > data.txt

1) Souřadnicové systémy

Souřadnicový systém ITRS (*Internacional Terrestrial Reference System*) – je definován pomocí množiny pevných bodů na povrchu Země a jejich souřadnice v kartézském souřadnicovém systému pevně spojeném se Zemí. Počátek je v těžišti Země a je definován tak, aby součet časových změn souřadnic bodů *ITRS* byl roven nule. Osa *Z* směřuje do referenčního pólu *IRP* (*IERS Reference Pole*) a osa *X* leží v rovině hlavního meridiánu (*IERS Reference Meridian*). Tento systém není vhodný pro výpočet druh druhic, protože pohyb druhic je prakticky nezávislý na rotaci Země.

Souřadnicový systém ICRS (*IERS Celestial Reference system*) – je realizován pomocí referenčního rámce *ICRF* tvořeného množinou směrů na kvazary jejichž polohu můžeme díky jejich vzdálenosti považovat za pevnou. Počátek souřadnicové soustavy je v baricentru sluneční soustavy, rovina *XY* odpovídá rovníkové epoše v J2000.0 a osa *X* směřuje do jarního bodu v této ploše.

2) Keplerovský pohyb

Keplerovský pohyb je takový pohyb dvou těles, která můžeme nahradit hmotnými body a působí na ně pouze vzájemné gravitační síly. Podle Newtonova gravitačního zákona pak platí vztah (2.01).

$$\ddot{\vec{r}} = -G \frac{M+m}{r^3} \vec{r} \quad (2.01)$$

kde: G je Newtonova gravitační konstanta
 M a m jsou hmotnosti obou těles
 r je průvodíč mezi tělesy
 $\ddot{\vec{r}}$ je zrychlení (druhá derivace průvodíče podle času)

Tento vztah je vektorová diferenciální rovnicí druhého stupně a funkce $\vec{r}(t)$ je jednoznačně definována pomocí šestice počátečních podmínek a je možné s jeho pomocí dokázat platnost Keplerových zákonů:

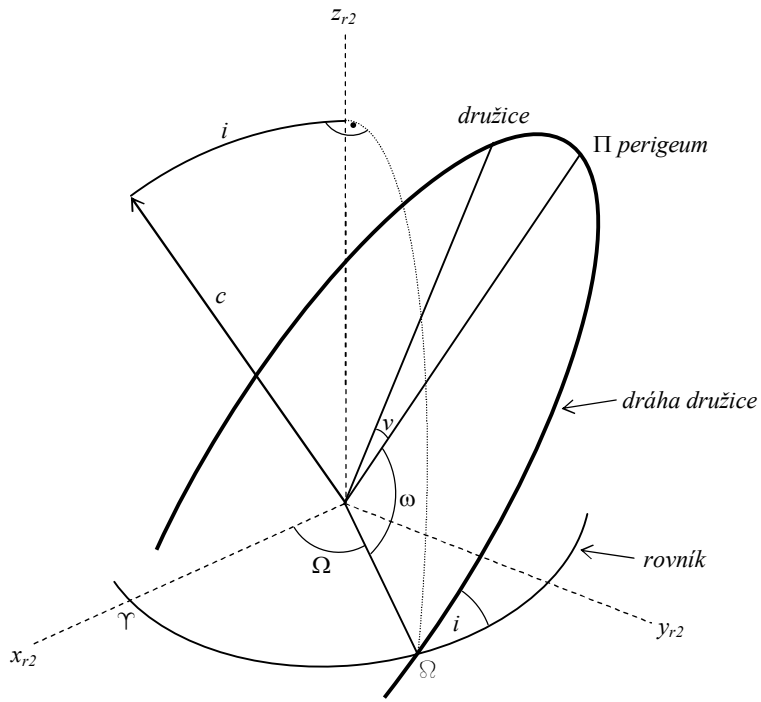
- 1 – planety se pohybují po elipsách blízkých kružnicích se Sluncem v ohnisku
- 2 – plošná rychlosť (plocha opsaná průvodíčem za časovou jednotku) je konstantní
- 3 – poměr druhé mocnin oběžné doby vzhledem ke třetí mocnině hlavní poloosy je konstantní

Tyto zákony platí i pro vztah Země – druhice kdy je navíc možné díky malé hmotnosti druhice vůči hmotnosti Země nahradit ve vztahu (1) hodnotu $G(M+m)$ hodnotou geocentrické gravitační konstanty GM .

Pohyb splňující Keplerovy zákony je možné popsat pomocí Keplerových elementů:

- a ... hlavní poloosa elipsy
 e ... excentricita elipsy
 T_0 ... čas průchodu perigeem Π (průsečík elipsy s hlavní poloosou). Udává se v čase *UTC*
 Ω ... rektascenze výstupného uzlu ϖ (průsečík dráhy s rovinou rovníku). Nabývá hodnot $0^\circ - 360^\circ$
 ω ... argument perigea (úhel mezi výstupným uzlem ϖ a perigeem Π). Nabývá hodnot $0^\circ - 360^\circ$
 i ... sklon dráhy vzhledem k rovině rovníku. Počítá se v matematicky kladném směru a nabývá hodnot $0^\circ - 180^\circ$

První tři elementy se označují jako vnitřní (poloha druhice v rovině dráhy), zbylé tři jako vnější (orientace roviny dráhy vůči inerciálnímu rovníkovému systému).



(obr. 1 – Keplerovy parametry)

Výpočet oskulačních elementů pomocí geocentrické polohy \vec{r} a rychlosti $\dot{\vec{r}}$ družice
Platí vztahy pro:

$$\text{průvodič} \quad r = \vec{r} \cdot \vec{r} \quad (2.02)$$

$$\text{rychlosť} \quad V^2 = \dot{\vec{r}} \cdot \dot{\vec{r}} \quad (2.03)$$

$$\text{hybnosť} \quad c = \vec{r} \times \dot{\vec{r}} \quad (2.04)$$

Výpočet vnitřních elementů
hlavní poloosa a pomocí integrálu živé sily

$$V^2 = GM \left(\frac{2}{r} - \frac{1}{a} \right) \quad \Rightarrow \quad a = \left(\frac{2}{r} - \frac{V^2}{GM} \right)^{-1} \quad (2.05)$$

excentricita e pomocí parametru elipsy

$$p = a(1-e^2) = \frac{c^2}{GM} \quad \Rightarrow \quad e = \sqrt{1 - \frac{c^2}{a \cdot GM}} \quad (2.06)$$

pravá anomálie v

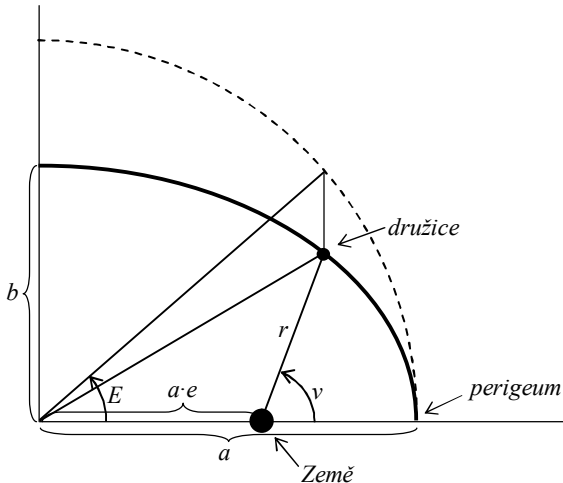
$$r = \frac{a(1-e^2)}{1+e \cos v} \quad \Rightarrow \quad v = \arccos \left(\frac{a(1-e^2)}{r \cdot e} - \frac{1}{e} \right) \quad (2.07)$$

řešení je dvojznačné a platí:

$$\begin{aligned}\vec{r} \cdot \dot{\vec{r}} > 0 &\Rightarrow v \in (0^\circ, 180^\circ) \\ \vec{r} \cdot \dot{\vec{r}} < 0 &\Rightarrow v \in (180^\circ, 360^\circ) \\ \vec{r} \cdot \dot{\vec{r}} = 0 \quad a \quad r < a &\Rightarrow v = 0^\circ \\ \vec{r} \cdot \dot{\vec{r}} = 0 \quad a \quad r > a &\Rightarrow v = 180^\circ\end{aligned}$$

excentrická anomálie E

$$E = 2 \left(\operatorname{arctg} \sqrt{\frac{1-e}{1+e}} \operatorname{tg} \frac{v}{2} \right) \quad (2.08)$$



(obr.2 - geometrický význam pravé a excentrické anomálie)

čas průchodu perigeem T_0 nebo střední anomálie M_0 v čase T z rovnice elipsy

$$M = E - e \sin E \quad \Rightarrow \quad M_0 \quad (2.09)$$

střední denní pohyb n

$$n = \sqrt{\frac{GM}{a^3}} \quad (2.10)$$

$$M = n(T - T_0) \quad \Rightarrow \quad T_0 = T - \frac{M}{n} \quad (2.11)$$

Výpočet vnějších elementů

Protože vektor \vec{c} je kolmý k dráze, platí transformační vztah (2.12) mezi souřadnicovou soustavou v rovině dráhy a druhou rovníkovou soustavou. Následně můžeme napsat vztahy (2.13) a (2.14).

$$\begin{pmatrix} c_1 \\ c_2 \\ c_3 \end{pmatrix} = Z(-\Omega) X(-i) Z(-\omega) \begin{pmatrix} 0 \\ 0 \\ c \end{pmatrix} = c \begin{pmatrix} \sin i \sin \Omega \\ -\sin i \cos \Omega \\ \cos i \end{pmatrix} \quad (2.12)$$

rektascenze výstupného uzlu Ω

$$\Omega = \operatorname{arctg} \frac{c_1}{-c_2} \quad (2.13)$$

sklon roviny dráhy i

$$i = \arccos \frac{c_3}{c} \quad (2.14)$$

argument perigea ω

Pro vektor ve směru výstupního uzlu \vec{s} platí

$$\vec{s} = \vec{e}_3 \times \vec{c} \quad (2.15)$$

kde: \vec{e} je jednotková vektor ve směru k severnímu světovému pólu $\vec{e} = (0 \ 0 \ 1)$

Dále můžeme napsat

$$\vec{s} \cdot \vec{r} = s \cdot r \cdot \cos(\omega + v) \quad \Rightarrow \quad (\omega + v)' = \arccos \frac{\vec{s} \cdot \vec{r}}{s \cdot r} \quad (2.16)$$

řešení je dvojznačné a platí:

$$r_3 > 0 \quad \Rightarrow \quad (\omega + v)' = (\omega + v)'$$

$$r_3 < 0 \quad \Rightarrow \quad (\omega + v)' = -(\omega + v)'$$

$$\omega = (\omega + v)' - v \quad (2.17)$$

3) Rušený pohyb

Protože Země není pravidelné homogenní těleso a na družici působí vnější síly (přitažlivost Slunce, Měsíce a ostatních planet, sluneční vítr a mnohé další) jež jí udělují zrychlení a (tzv. poruchové zrychlení), přejde rovnice (2.01) na tvar

$$\ddot{\vec{r}} = -G \frac{M+m}{r^3} \vec{r} + \vec{a} \quad (3.01)$$

Pohyb družice pak není rovinný, neprobíhá po elipse a k jeho popisu nestačí šest Keplerových elementů. Známe-li ale polohu družice v čase t_i ($i = 1$ až n), můžeme z těchto hodnot Keplerovy elementy určit a sledovat jejich časový průběh. Pro výpočet se pak vždy použijí dvě známé sousední polohy družice.

Pro výpočet polohy družice v čase t pomocí Keplerových elementů platí vztah (3.02):

$$\vec{\rho} = R_Z(-\Omega) \cdot R_X(-i) \cdot R_Z(-\omega) \cdot \begin{pmatrix} r \cdot \cos v \\ r \cdot \sin v \\ 0 \end{pmatrix} \quad (3.02)$$

kde: R_X a R_Z jsou matice rotace podle příslušných os

$$v = 2 \cdot \operatorname{arctg} \left(\sqrt{\frac{1+e}{1-e}} \cdot \operatorname{tg} \frac{E}{2} \right) \quad (3.03)$$

$$r = a(1 - e \cdot \cos E) \quad (3.04)$$

$$E = M + e \cdot \sin E \quad (3.05)$$

$$M = n \cdot (t_i - T_0) \quad (3.06)$$

Protože výpočet probíhá pro dva časové okamžiky současně, má matice A tvar

$$A_{(6,6)} = \begin{pmatrix} \frac{\partial \vec{\rho}}{\partial \Omega} \Big|_{t_i} & \frac{\partial \vec{\rho}}{\partial i} \Big|_{t_i} & \frac{\partial \vec{\rho}}{\partial \omega} \Big|_{t_i} & \frac{\partial \vec{\rho}}{\partial a} \Big|_{t_i} & \frac{\partial \vec{\rho}}{\partial e} \Big|_{t_i} & \frac{\partial \vec{\rho}}{\partial T_0} \Big|_{t_i} \\ \hline \frac{\partial \vec{\rho}}{\partial \Omega} \Big|_{t_{i+1}} & \frac{\partial \vec{\rho}}{\partial i} \Big|_{t_{i+1}} & \frac{\partial \vec{\rho}}{\partial \omega} \Big|_{t_{i+1}} & \frac{\partial \vec{\rho}}{\partial a} \Big|_{t_{i+1}} & \frac{\partial \vec{\rho}}{\partial e} \Big|_{t_{i+1}} & \frac{\partial \vec{\rho}}{\partial T_0} \Big|_{t_{i+1}} \end{pmatrix} \quad (3.07)$$

kde příslušné derivace vektoru $\vec{\rho}$ vypadají takto:

$$\frac{\partial \vec{\rho}}{\partial \Omega} = -dR_Z(-\Omega) \cdot R_X(-i) \cdot R_Z(-\omega) \cdot \vec{r} \quad (3.08)$$

$$\frac{\partial \vec{\rho}}{\partial i} = R_Z(-\Omega) \cdot -dR_X(-i) \cdot R_Z(-\omega) \cdot \vec{r} \quad (3.09)$$

$$\frac{\partial \vec{\rho}}{\partial \omega} = R_Z(-\Omega) \cdot R_X(-i) \cdot -dR_Z(-\omega) \cdot \vec{r} \quad (3.10)$$

$$\frac{\partial \vec{\rho}}{\partial a} = \begin{pmatrix} \cos E - e + \frac{3}{2} \cdot \frac{a}{r} M \cdot \sin E \\ \sqrt{1-e^2} \cdot \left(\sin E - \frac{3}{2} \cdot \frac{a}{r} M \cdot \cos E \right) \\ 0 \end{pmatrix} \quad (3.11)$$

$$\frac{\partial \vec{\rho}}{\partial e} = \begin{pmatrix} -a \left(1 + \frac{a}{r} \cdot \sin^2 E \right) \\ \frac{a^2 \cdot \sin E}{r \cdot \sqrt{1-e^2}} (\cos E - e) \\ 0 \end{pmatrix} \quad (3.12)$$

$$\frac{\partial \vec{\rho}}{\partial T_0} = \begin{pmatrix} \frac{n \cdot a^2 \cdot \sin E}{r} \\ -n \frac{a^2}{r} \sqrt{1-e^2} \cdot \cos E \\ 0 \end{pmatrix} \quad (3.13)$$

kde:

$$\vec{r} = \begin{pmatrix} a \cdot \cos E - e \\ a \cdot \sqrt{1-e^2} \cdot \sin E \\ 0 \end{pmatrix} \quad (3.14)$$

Vektor l má tvar

$$l_{(6,1)} = \begin{pmatrix} x \\ y \\ z \\ x \\ y \\ z \end{pmatrix}_{\begin{array}{c|c} t_i & -\vec{\rho}|_{t_i} \\ \hline t_{i+1} & -\vec{\rho}|_{t_{i+1}} \end{array}} \quad (3.15)$$

kde: xyz jsou známé souřadnice družice (převedené ze souboru *.sp3)

Vektor přírůstků oskulačních elementů pak vypočteme pomocí vztahu (3.16). Výpočet se opakuje do té doby, než velikost přírůstků neklesne pod požadovanou hodnotu. Jako počáteční hodnoty oskulačních elementů se použijí jejich hodnoty určené ze vztahů pro nerušený pohyb (viz vztahy (2.02) až (2.17)).

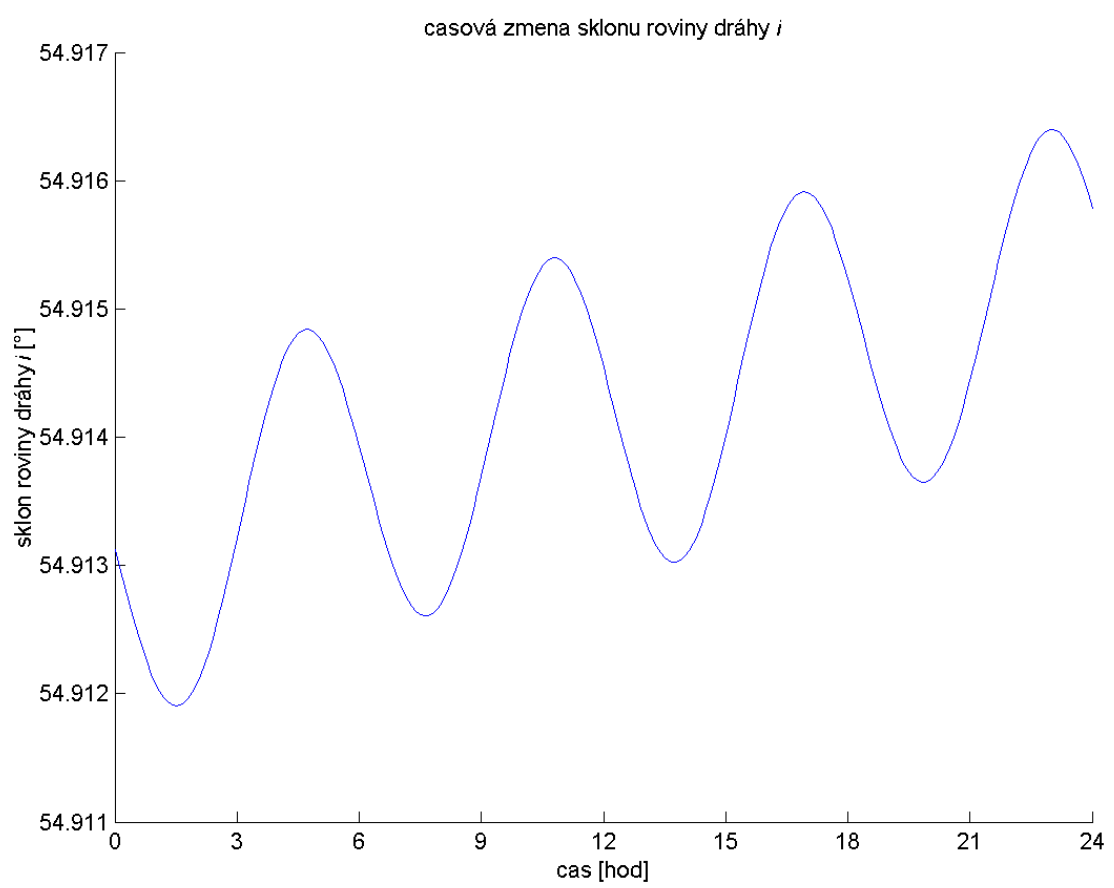
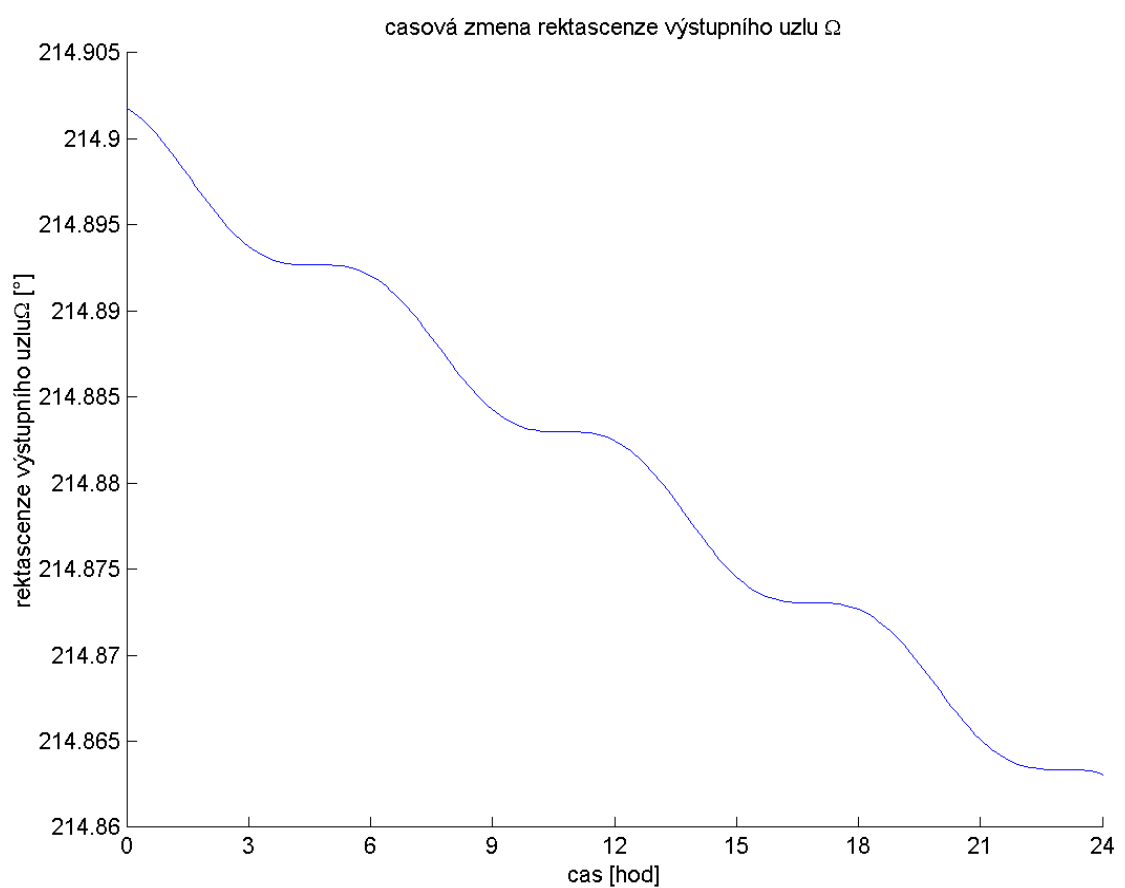
$$dx = A^{-1} \cdot l \quad (3.16)$$

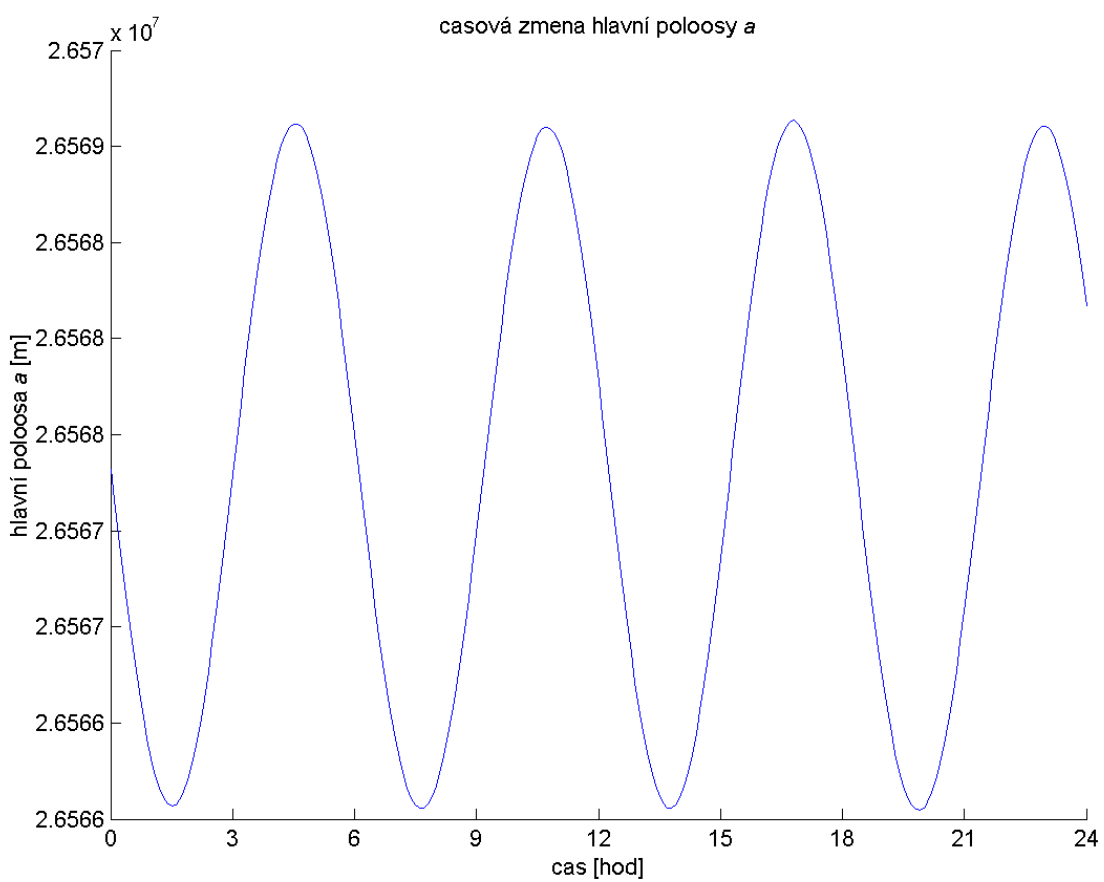
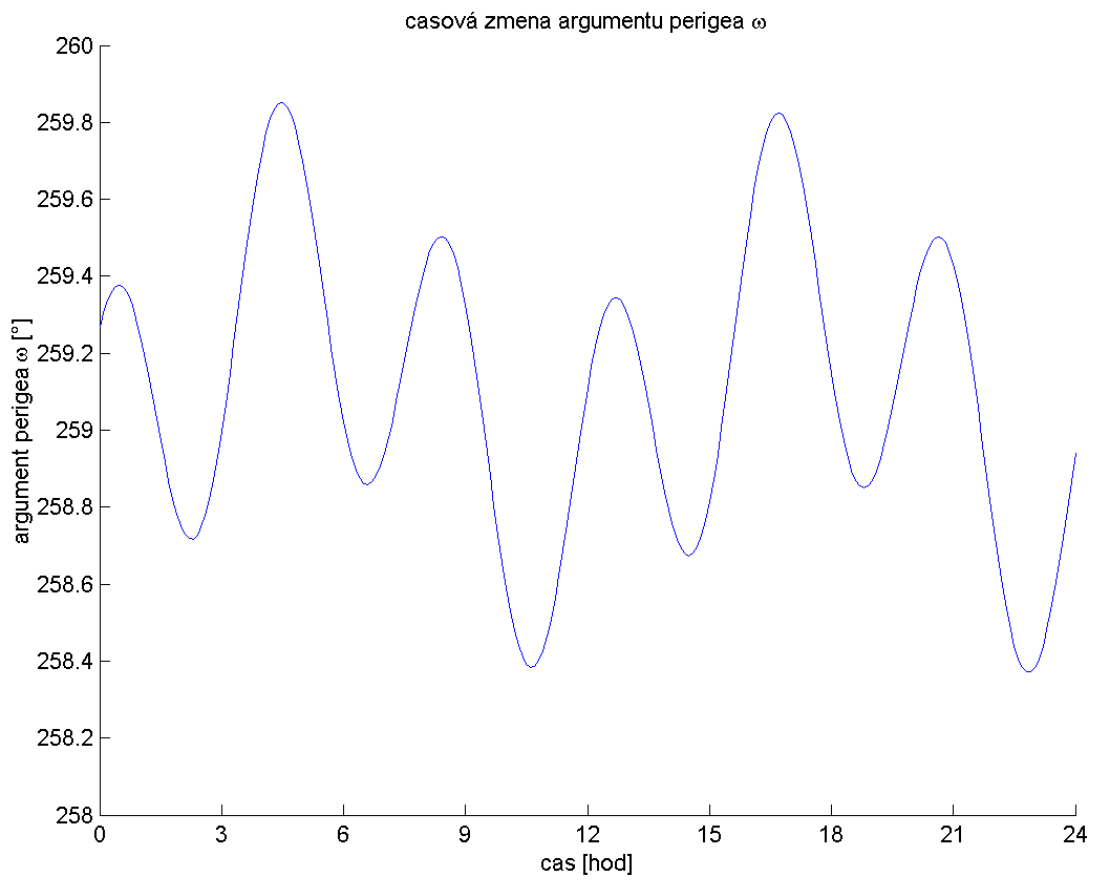
Přehled výsledků

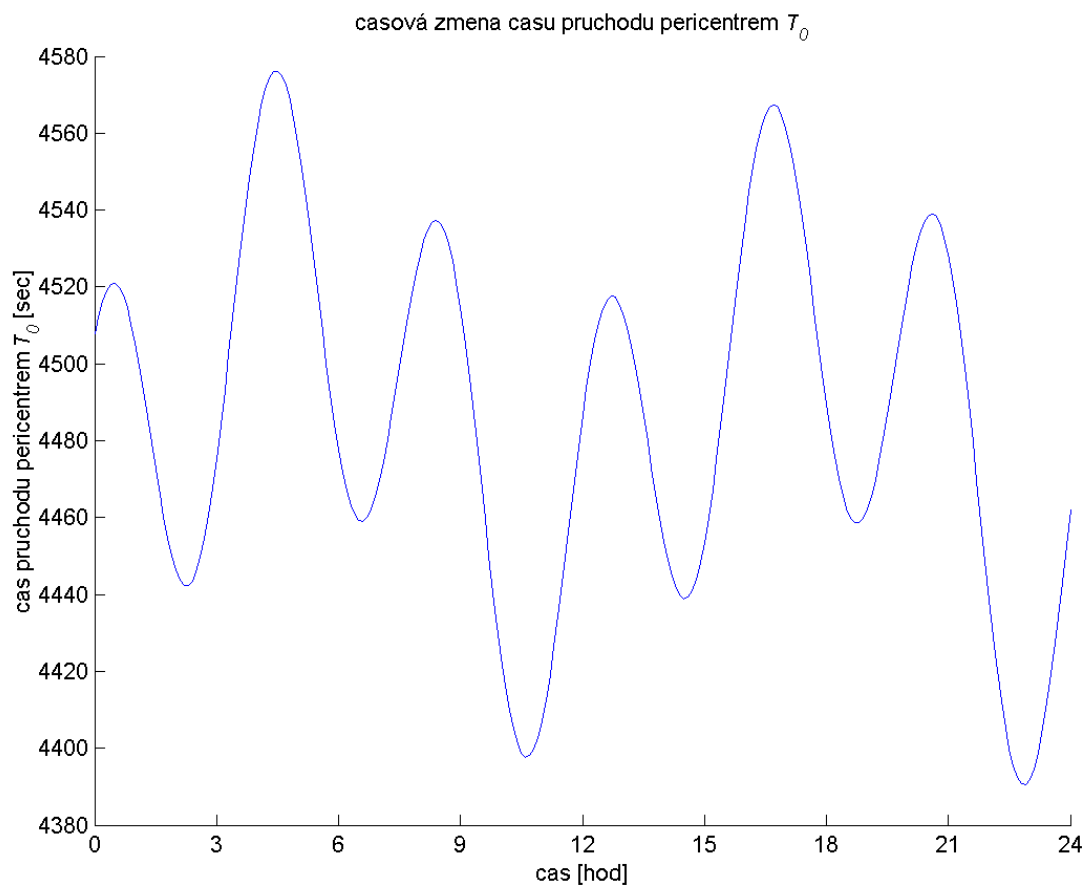
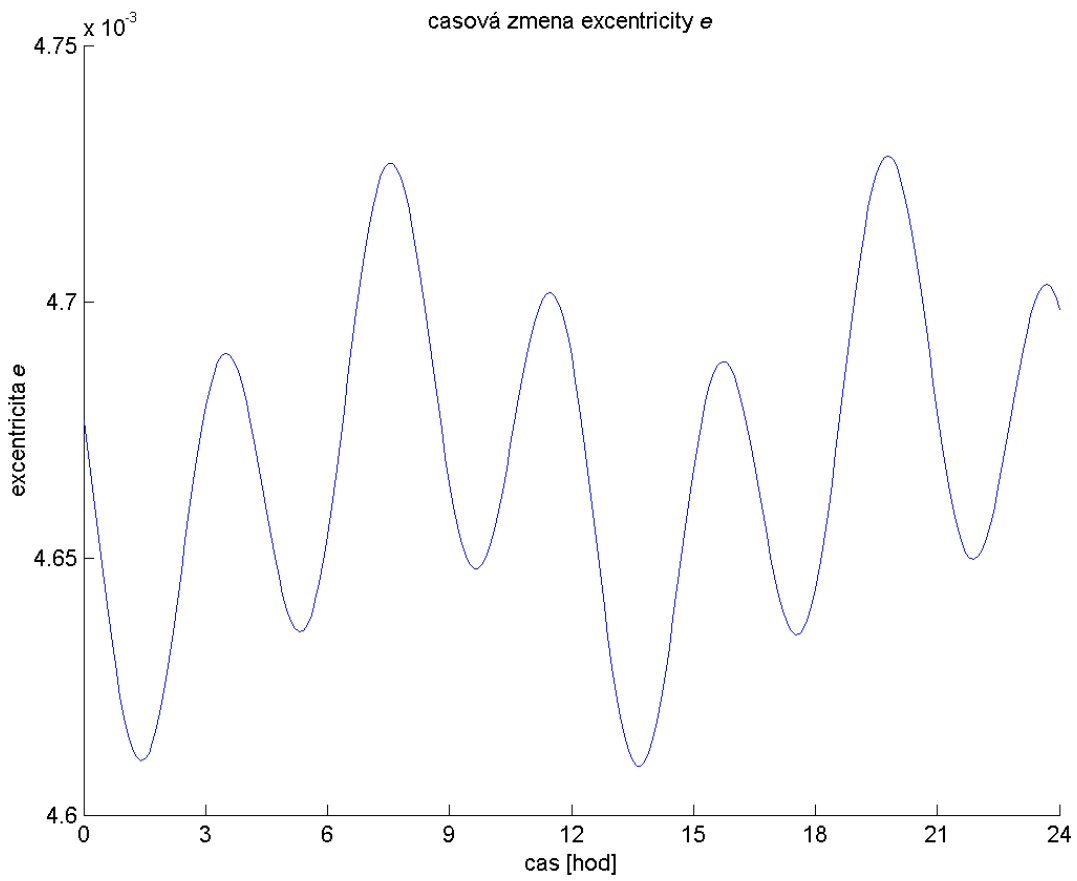
Výsledné souřadnice a oskulační elementy družice PRN1 v průběhu dne 29.10.1999

čas	X [m]	Y [m]	Z [m]	Ω	i	ω	a [m]	e	T ₀ [sec]
0:00:13	10529634.510	19612400.470	-14320955.282	214°54'06.560"	54°54'47.319"	259°15'41.997"	26567342.392	0.004677620	4507.185
0:15:13	7681367.233	19348466.144	-16332769.373	214°54'04.947"	54°54'46.170"	259°21'07.032"	26566879.665	0.004661824	4517.891
0:30:13	4699443.153	18747842.369	-18060312.065	214°54'02.944"	54°54'45.088"	259°22'36.328"	26566447.899	0.004645123	4520.819
0:45:13	1635686.050	17820726.025	-19473271.540	214°54'00.585"	54°54'44.152"	259°20'05.852"	26566077.453	0.004629826	4515.832
1:00:13	-1456566.921	16583088.596	-20546847.164	214°53'57.932"	54°54'43.435"	259°14'11.193"	26565794.899	0.004618097	4504.104
1:15:13	-4523427.913	15056399.208	-21262210.445	214°53'55.063"	54°54'42.992"	259°06'03.431"	26565620.168	0.004611577	4487.981
1:30:13	-7511434.527	13267242.274	-21606853.770	214°53'52.074"	54°54'42.859"	258°57'17.018"	26565565.888	0.004611142	4470.583
1:45:13	-10368519.273	11246837.220	-21574819.380	214°53'49.069"	54°54'43.052"	258°49'34.339"	26565636.027	0.004616741	4455.291
2:00:13	-13044952.183	9030470.190	-21166803.624	214°53'46.150"	54°54'43.563"	258°44'27.250"	26565825.538	0.004627411	4445.140
2:15:13	-15494237.186	6656849.728	-20390134.716	214°53'43.417"	54°54'44.362"	258°43'01.816"	26566121.269	0.004641458	4442.307
2:30:13	-17673944.060	4167400.033	-19258625.093	214°53'40.954"	54°54'45.399"	258°45'47.501"	26566502.101	0.004656714	4447.761
2:45:13	-19546459.404	1605506.809	-17792302.428	214°53'38.827"	54°54'46.609"	258°52'34.055"	26566941.414	0.004670912	4461.155
3:00:13	-21079642.420	-984268.510	-16017026.064	214°53'37.077"	54°54'47.915"	259°02'33.404"	26567408.171	0.004682021	4480.895
3:15:13	-22247373.548	-3556989.937	-13963998.220	214°53'35.722"	54°54'49.233"	259°14'29.045"	26567869.943	0.004688551	4504.447
3:30:13	-23029986.869	-6068147.422	-11669181.273	214°53'34.749"	54°54'50.481"	259°26'46.405"	26568294.398	0.004689754	4528.684
3:45:13	-23414579.990	-8474440.940	-9172634.356	214°53'34.124"	54°54'51.580"	259°37'47.731"	26568652.563	0.004685738	4550.377
4:00:13	-23395198.037	-10734533.534	-6517783.644	214°53'33.785"	54°54'52.462"	259°46'04.213"	26568919.762	0.004677421	4566.600
4:15:13	-22972891.113	-12809759.693	-3750641.714	214°53'33.653"	54°54'53.076"	259°50'29.845"	26569078.172	0.004666399	4575.184
4:30:13	-22155647.295	-14664777.155	-918991.628	214°53'33.637"	54°54'53.387"	259°50'30.089"	26569117.270	0.004654705	4575.007
4:45:13	-20958205.704	-16268151.702	1928448.528	214°53'33.637"	54°54'53.384"	259°46'08.748"	26569035.138	0.004644495	4566.218
5:00:13	-19401756.088	-17592866.539	4742865.360	214°53'33.552"	54°54'53.072"	259°38'07.380"	26568837.930	0.004637719	4550.214
5:15:13	-17513533.402	-18616749.531	7476179.543	214°53'33.289"	54°54'52.483"	259°27'39.453"	26568539.456	0.004635802	4529.449
5:30:13	-15326317.046	-19322813.456	10081851.282	214°53'32.766"	54°54'51.663"	259°16'19.613"	26568160.441	0.004639421	4507.068
5:45:13	-12877845.638	-19699506.291	12515649.442	214°53'31.921"	54°54'50.676"	259°05'47.525"	26567726.695	0.004648387	4486.376
6:00:13	-10210158.826	-19740869.931	14736373.188	214°53'30.712"	54°54'49.596"	258°57'32.160"	26567267.536	0.004661674	4470.310
6:15:13	-7368878.135	-19446607.389	16706516.392	214°53'29.123"	54°54'48.502"	258°52'37.793"	26566813.629	0.004677592	4460.980
6:30:13	-4402438.975	-18822059.718	18392866.321	214°53'27.163"	54°54'47.476"	258°51'35.187"	26566395.206	0.004694039	4459.373
6:45:13	-1361285.931	-17878094.934	19767029.494	214°53'24.866"	54°54'46.594"	258°54'18.103"	26566039.803	0.004708829	4465.243
7:00:13	1702956.707	-16630912.217	20805878.678	214°53'22.290"	54°54'45.921"	259°00'06.123"	26565770.856	0.004720003	4477.207
7:15:13	4738327.474	-15101765.363	21491916.204	214°53'19.512"	54°54'45.510"	259°07'51.454"	26565605.907	0.004726115	4492.972
7:30:13	7693371.837	-13316610.127	21813549.687	214°53'16.620"	54°54'45.394"	259°16'09.454"	26565555.645	0.004726422	4509.694
7:45:13	10517976.768	-11305680.735	21765277.150	214°53'13.712"	54°54'45.587"	259°23'30.328"	26565623.396	0.004720983	4524.361
8:00:13	13164184.822	-9103001.265	21347779.375	214°53'10.888"	54°54'46.082"	259°28'31.639"	26565804.541	0.004710659	4534.219
8:15:13	15586976.937	-6745838.205	20567918.116	214°53'08.239"	54°54'46.852"	259°30'10.281"	26566087.220	0.004696985	4537.167
8:30:13	17745013.488	-4274101.103	19438639.540	214°53'05.848"	54°54'47.850"	259°27'51.655"	26566452.861	0.004681962	4532.065
8:45:13	19601323.016	-1729698.708	17978783.126	214°53'03.779"	54°54'49.012"	259°21'36.976"	26566877.230	0.004667771	4518.976
9:00:13	21123928.466	844141.146	16212797.239	214°53'02.074"	54°54'50.267"	259°12'03.981"	26567332.329	0.004656440	4499.190
9:15:13	22286400.808	3403579.085	14170363.502	214°53'00.751"	54°54'51.532"	259°00'23.187"	26567787.759	0.004649539	4475.095
9:30:13	23068330.304	5904889.438	11885933.415	214°52'59.801"	54°54'52.725"	258°48'07.729"	26568212.827	0.004647924	4449.842
9:45:13	23455706.233	8305192.732	9398181.930	214°52'59.189"	54°54'53.770"	258°36'58.020"	26568579.025	0.004651587	4426.826
10:00:13	23441196.588	10563184.216	6749384.151	214°52'58.859"	54°54'54.599"	258°28'26.925"	26568860.973	0.004659671	4409.192
10:15:13	23024320.237	12639846.462	3984723.037	214°52'58.731"	54°54'55.158"	258°23'43.264"	26569039.223	0.004670595	4399.281
10:30:13	22211505.437	14499133.764	1151537.519	214°52'58.715"	54°54'55.412"	258°23'22.337"	26569100.959	0.004682313	4398.310
10:45:13	21016030.195	16108615.517	-1701477.764	214°52'58.709"	54°54'55.348"	258°27'20.594"	26569041.399	0.004692649	4406.192
11:00:13	19457841.937	17440065.963	-4525108.336	214°52'58.611"	54°54'54.972"	258°34'57.723"	26568863.866	0.004699621	4421.601
11:15:13	17563256.273	18469987.885	-7270477.070	214°52'58.325"	54°54'54.314"	258°45'02.863"	26568580.046	0.004701760	4442.175
11:30:13	15364537.106	19180058.560	-9889907.233	214°52'57.767"	54°54'53.424"	258°56'05.464"	26568209.116	0.004698329	4464.881
11:45:13	12899363.047	19557487.405	-12337774.905						

					214°52'56.872"	54°54'52.366"	259°06'28.529"	26567776.370	0.004689437	4486.454
12:00:13	10210187.868	19595276.146	-14571333.850		214°52'55.598"	54°54'51.220"	259°14'41.816"	26567311.832	0.004676043	4503.835
12:15:13	7343505.447	19292374.275	-16551495.863		214°52'53.927"	54°54'50.067"	259°19'35.612"	26566847.856	0.004659823	4514.640
12:30:13	4349032.219	18653724.698	-18243549.933		214°52'51.873"	54°54'48.994"	259°20'31.728"	26566416.897	0.004642933	4517.522
12:45:13	1278822.530	17690196.860	-19617804.658		214°52'49.472"	54°54'48.079"	259°17'30.039"	26566049.643	0.004627702	4512.399
13:00:13	-1813665.833	16418407.330	-20650139.714		214°52'46.787"	54°54'47.391"	259°11'10.527"	26565771.993	0.004616248	4500.526
13:15:13	-4874537.036	14860430.444	-21322454.042		214°52'43.901"	54°54'46.983"	259°02'47.437"	26565603.720	0.004610154	4484.307
13:30:13	-7850433.763	13043404.261	-21623000.848		214°52'40.910"	54°54'46.889"	258°53'57.386"	26565557.004	0.004610210	4466.903
13:45:13	-10689504.709	10999039.681	-21546602.032		214°52'37.916"	54°54'47.119"	258°46'22.612"	26565635.306	0.004616272	4451.683
14:00:13	-13342342.922	8763042.868	-21094737.589		214°52'35.025"	54°54'47.664"	258°41'33.568"	26565833.144	0.004627293	4441.646
14:15:13	-15762875.687	6374463.131	-20275508.430		214°52'32.331"	54°54'48.490"	258°40'33.249"	26566136.829	0.004641514	4438.904
14:30:13	-17909187.966	3874980.107	-19103474.187		214°52'29.918"	54°54'49.546"	258°43'47.175"	26566524.742	0.004656732	4444.346
14:45:13	-19744263.087	1308145.367	-17599370.316		214°52'27.847"	54°54'50.763"	258°51'00.814"	26566969.745	0.004670685	4457.550
15:00:13	-21236626.701	-1281405.770	-15789711.652		214°52'26.158"	54°54'52.063"	259°01'22.684"	26567440.597	0.004681379	4476.885
15:15:13	-22360882.407	-3848755.922	-13706291.932		214°52'24.863"	54°54'53.364"	259°13'33.217"	26567904.459	0.004687390	4499.797
15:30:13	-23098130.284	-6349504.783	-11385590.920		214°52'23.947"	54°54'54.581"	259°25'56.282"	26568328.887	0.004688055	4523.185
15:45:13	-23436262.356	-8740550.154	-8868102.472		214°52'23.369"	54°54'55.637"	259°36'53.826"	26568684.831	0.004683572	4543.883
16:00:13	-23370131.963	-10980836.308	-6197598.070		214°52'23.067"	54°54'56.469"	259°44'58.195"	26568947.679	0.004674943	4559.064
16:15:13	-22901596.696	-13032056.245	-3420341.250		214°52'22.958"	54°54'57.024"	259°49'05.802"	26569099.800	0.004663834	4566.681
16:30:13	-22039437.308	-14859296.132	-584268.605		214°52'22.950"	54°54'57.274"	259°48'45.919"	26569131.191	0.004652313	4565.765
16:45:13	-20799157.270	-16431611.686	2261846.951		214°52'22.942"	54°54'57.209"	259°44'06.176"	26569040.215	0.004642542	4556.596
17:00:13	-19202669.804	-17722528.318	5069235.401		214°52'22.834"	54°54'56.840"	259°35'52.205"	26568833.678	0.004636431	4540.689
17:15:13	-17277880.869	-18710458.485	7789956.896		214°52'22.534"	54°54'56.200"	259°25'20.914"	26568526.105	0.004635335	4520.575
17:30:13	-15058178.060	-19379031.702	10377703.574		214°52'21.965"	54°54'55.338"	259°14'08.631"	26568138.894	0.004639833	4499.404
17:45:13	-12581836.276	-19717334.299	12788563.665		214°52'21.065"	54°54'54.321"	259°03'54.852"	26567698.473	0.004649626	4480.408
18:00:13	-9891351.825	-19720057.574	14981736.910		214°52'19.799"	54°54'53.223"	258°56'06.523"	26567234.562	0.004663598	4466.385
18:15:13	-7032716.923	-19387554.583	16920191.644		214°52'18.153"	54°54'52.126"	258°51'44.740"	26566778.418	0.004679976	4459.261
18:30:13	-4054646.769	-18725806.799	18571255.327		214°52'16.142"	54°54'51.108"	258°51'15.716"	26566360.421	0.004696618	4459.796
18:45:13	-1007771.257	-17746303.197	19907131.365		214°52'13.804"	54°54'50.245"	258°54'28.900"	26566008.052	0.004711342	4467.534
19:00:13	2056196.658	-16465835.022	20905336.550		214°52'11.198"	54°54'49.600"	259°00'40.017"	26565744.679	0.004722219	4480.906
19:15:13	5085304.373	-14906210.338	21549054.251		214°52'08.405"	54°54'49.223"	259°08'38.335"	26565587.292	0.004727876	4497.481
19:30:13	8028203.284	-13093893.064	21827399.620		214°52'05.513"	54°54'49.143"	259°16'57.838"	26565546.199	0.004727654	4514.342
19:45:13	10834981.669	-11059571.825	21735593.928		214°52'02.622"	54°54'49.372"	259°24'08.798"	26565623.725	0.004721719	4528.477
20:00:13	13457975.758	-8837664.366	21275045.920		214°51'59.828"	54°54'49.898"	259°28'50.300"	26565814.871	0.004711008	4537.195
20:15:13	15852548.415	-6465763.946	20453338.894		214°51'57.224"	54°54'50.692"	259°30'02.061"	26566106.789	0.004697136	4538.521
20:30:13	17977824.718	-3984034.611	19284123.032		214°51'54.886"	54°54'51.705"	259°27'13.755"	26566480.216	0.004682142	4531.507
20:45:13	19797374.158	-1434562.929	17786913.270		214°51'52.876"	54°54'52.872"	259°20'30.795"	26566910.349	0.004668213	4516.415
21:00:13	21279829.053	1139325.629	15986794.026		214°51'51.233"	54°54'54.118"	259°10'35.339"	26567368.682	0.004657338	4494.754
21:15:13	22399429.267	3693776.614	13914033.097		214°51'49.970"	54°54'55.364"	258°58'40.916"	26567824.766	0.004651017	4469.089
21:30:13	23136483.460	6185133.074	11603608.229		214°51'49.074"	54°54'56.528"	258°46'22.679"	26568247.744	0.004650013	4442.711
21:45:13	23477737.750	8570668.046	9094651.364		214°51'48.509"	54°54'57.534"	258°35'21.154"	26568609.105	0.004654225	4419.091
22:00:13	23416643.408	10809311.717	6429816.776		214°51'48.213"	54°54'58.316"	258°27'07.087"	26568884.011	0.004662696	4401.364
22:15:13	22953516.261	12862361.353	3654581.280		214°51'48.107"	54°54'58.823"	258°22'46.041"	26569053.451	0.004673783	4391.807
22:30:13	22095581.768	14694161.488	816486.030		214°51'48.098"	54°54'59.024"	258°22'49.220"	26569105.210	0.004685407	4391.531
22:45:13	20856901.555	16272741.714	-2035668.616		214°51'48.084"	54°54'58.905"	258°27'08.982"	26569035.093	0.004695392	4400.322
23:00:13	19258179.082	17570399.379	-4852662.260		214°51'47.965"	54°54'58.478"	258°35'00.961"	26568847.339	0.004701802	4416.706
23:15:13	17326444.495	18564214.861	-7585713.216		214°51'47.644"	54°54'57.775"	258°45'11.555"	26568554.332	0.004703239	4438.199
23:30:13	15094621.228	19236487.844	-10187341.194							







Závěr

Veškeré výpočty a grafy byly provedeny v programu Matlab.

Z grafického vyjádření průběhu Keplerových elementů v průběhu dne jsou patrné jejich periodické změny, přičemž perioda nabývá hodnot přibližně šest nebo dvanáct hodin. Tato skutečnost je způsobena tím, že příslušná družice obíhá po prakticky kruhové dráze kolem Země dvakrát za jeden den.

Exapolis, dne 5.1.2004
Zdeněk Nejedlý

Zdeněk Nejedlý